

MÚLTIPLAS CADEIAS DE ILHAS ISÓCRONAS EM SISTEMAS TWIST

Meirielen C. de Sousa¹,

I. L. Caldas¹, A. M. O. de Almeida², F. B. Rizzato³, R. Pakter³

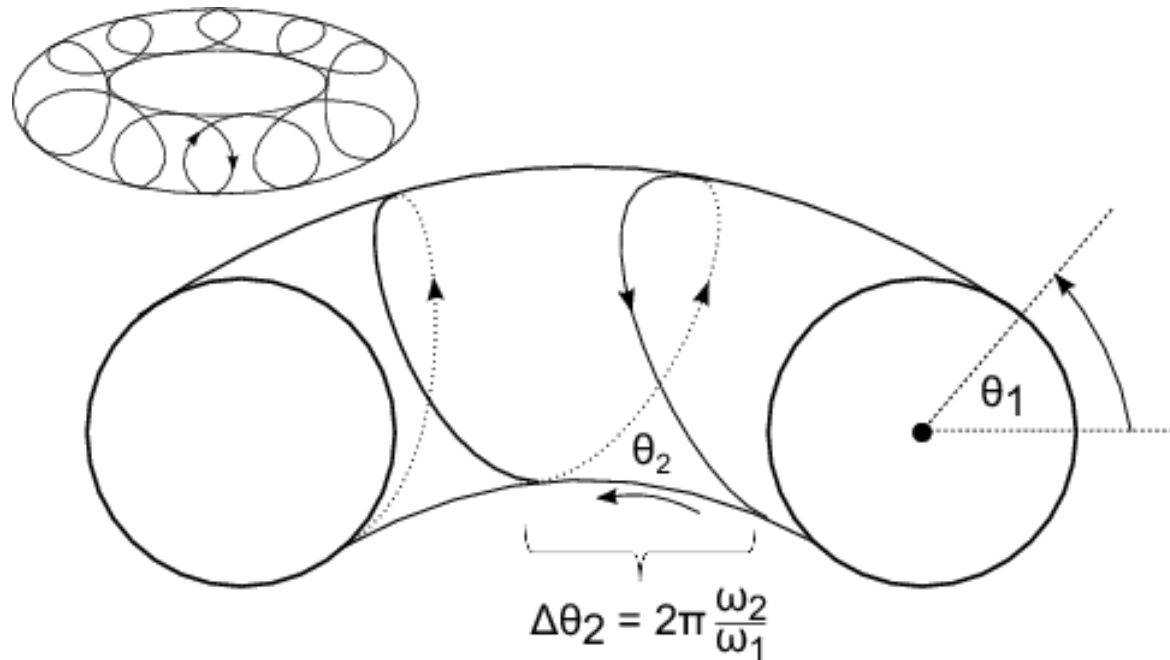
¹Instituto de Física, Universidade de São Paulo

²Centro Brasileiro de Pesquisas Físicas

³Instituto de Física, Universidade Federal do Rio Grande do Sul

NÚMERO ROTAÇÃO

- Razão entre duas frequências do sistema
- Exemplo: movimento toroidal com número de rotação $\Omega = \omega_1 / \omega_2$



- 
- Órbitas periódicas: números rotação racionais
 - Órbitas quase-periódicas: números rotação irracionais
 - Órbitas caóticas: número rotação não definido

- Órbitas periódicas: números rotação racionais
- Órbitas quase-periódicas: números rotação irracionais
- Órbitas caóticas: número rotação não definido

- Teorema Ponto Fixo Poincaré-Birkhoff (órbitas periódicas):
 - a) Número rotação determina número pontos periódicos de órbita periódica
 - b) Sistemas quase-integráveis - número par órbitas periódicas: metade estável (pontos elípticos, ilhas ressonância) e metade instável (pontos hiperbólicos)
 - c) Para cada número rotação: teorema não determina número órbitas estáveis (número cadeias isócronas)

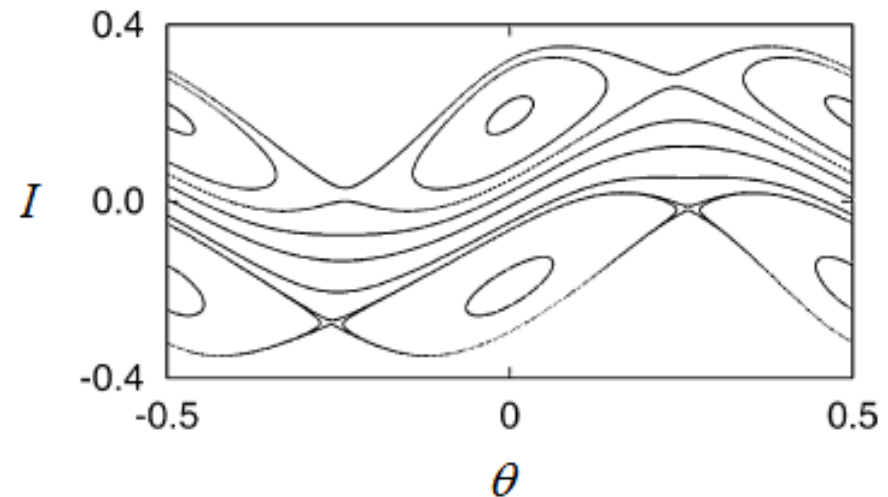
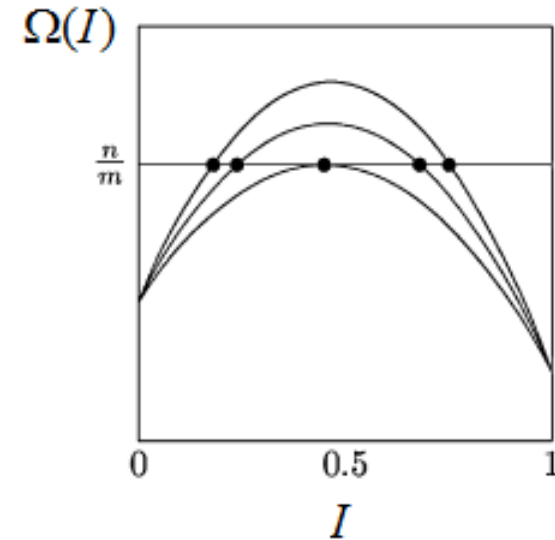
A. J. Lichtenberg and M. A. Leiberman, *Regular and chaotic dynamics* (2nd ed., Springer, New York, 1992)

M. V. Berry, *AIP Conf. Proc.* **46**, 16 (1978)

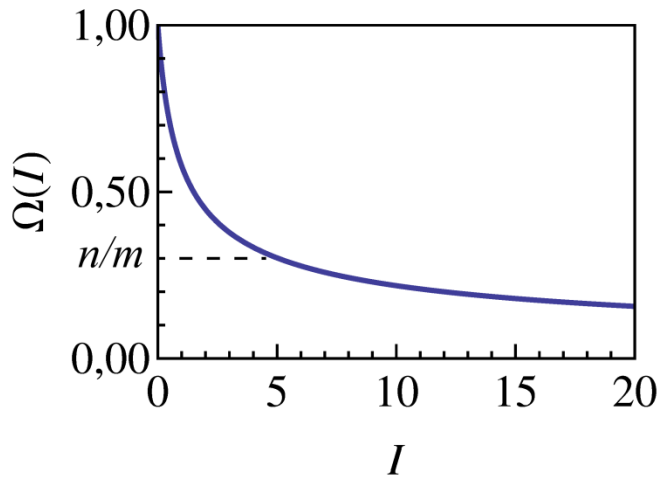
SISTEMAS NÃO TWIST

- Número rotação **não** é função monotônica variáveis ação I
- Seções Poincaré: órbitas periódicas com mesmo Ω para valores diferentes variável I

Figura: duas cadeias isócronas (gêmeas) com $\Omega = 1/2$ no mapa padrão não twist

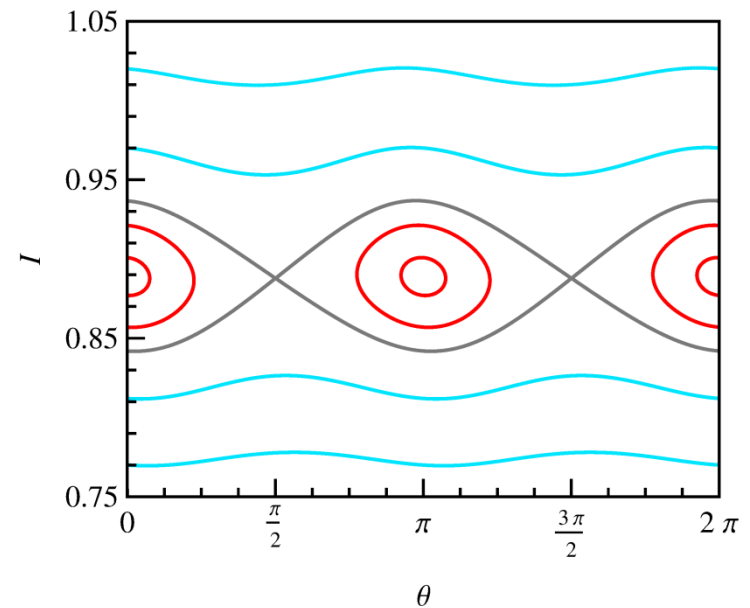


SISTEMAS TWIST



- Número rotação Ω é função monotônica variáveis ação I

- Seções Poincaré: não há cadeias isócronas (mesmo Ω) para valores diferentes variável I
- Em geral, literatura apresenta sistemas twist com apenas uma cadeia isócrona, como na figura



TEOREMA POINCARÉ-BIRKHOFF

- Ressonância primária (m, n) : número rotação $\Omega = n / m$
(m, n inteiros não nulos, positivos, primos entre si)
- Teorema Ponto Fixo Poincaré-Birkhoff:
ressonância (m, n) possui Lm ilhas seção Poincaré $J_1 \times \varphi_1$ e
 Ln ilhas seção Poincaré $J_2 \times \varphi_2$ (L inteiro positivo, não nulo)
- L é número cadeias isócronas
- Teorema Poincaré-Birkhoff não determina valor de L

A. J. Lichtenberg and M. A. Leiberman, *Regular and chaotic dynamics* (2nd ed., Springer, New York, 1992)

M. V. Berry, *AIP Conf. Proc.* **46**, 16 (1978)

PERTURBAÇÕES (lm, ln)

- Todas perturbações (lm, ln) ($l \neq 0$ inteiro) apresentam mesmo número rotação $\Omega = n/m$
- Superfície racional $\Omega = n/m$ pode conter número infinito de perturbações
- Número rotação não é suficiente para caracterizar completamente ressonância
- Para determinar número cadeias isócronas, devemos conhecer perturbações (lm, ln) que atuam no sistema

M. C. de Sousa *et al.*, *Phys. Rev. E* **88**, 064901 (2013)

M. C. de Sousa *et al.*, *J. Phys.: Conf. Ser.* **641**, 012003 (2015)

PERTURBAÇÃO ÚNICA

- Hamiltoniana twist quase integrável: dois osciladores não lineares [Walker and Ford, *Phys. Rev.* **188**, 416 (1969)]:

$$H = J_1 + J_2 - J_1^2 - 3J_1J_2 + J_2^2 \\ + \alpha J_1J_2 \cos(r_1\varphi_1 - s_1\varphi_2) + \beta J_1J_2^{3/2} \cos(r_2\varphi_1 - s_2\varphi_2)$$

- Duas perturbações com números rotação diferentes
- Condições ressonância:

Perturbação (r_1, s_1) :

$$\frac{d}{dt}(r_1\varphi_1 - s_1\varphi_2) = 0$$

$$r_1\omega_1 \cong s_1\omega_2$$

$$\Omega_1 = \omega_1 / \omega_2 \cong s_1 / r_1$$

e

Perturbação (r_2, s_2) :

$$\frac{d}{dt}(r_2\varphi_1 - s_2\varphi_2) = 0$$

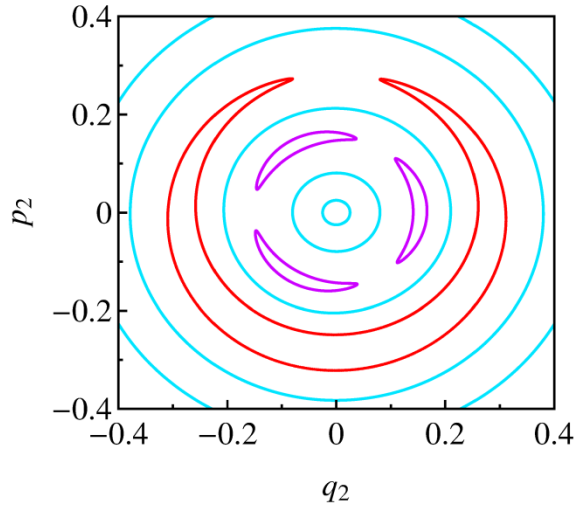
$$r_2\omega_1 \cong s_2\omega_2$$

$$\Omega_2 = \omega_1 / \omega_2 \cong s_2 / r_2$$

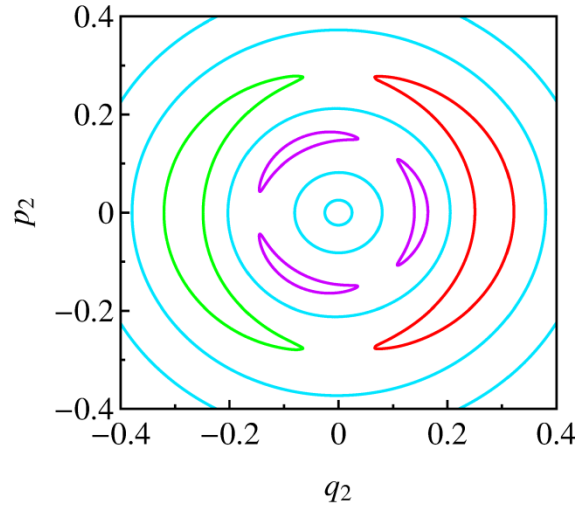
- Condição ressonância e número rotação não dependem r_i , s_i isoladamente. Dependem razão entre eles: $\Omega_i \cong s_i / r_i$
- Se r_i , s_i não são primos entre si: $(r_i, s_i) = (l_i m_i, l_i n_i)$
 l_i, m_i, n_i : inteiros não nulos
 m_i, n_i : positivos e primos entre si
- Perturbação $(r_1, s_1) = (l_1 m_1, l_1 n_1)$:
 $\Omega_1 = n_1 / m_1$ - ressonância (m_1, n_1)
 $|l_1|$ - número cadeias isócronas nas seções Poincaré
- Perturbação $(r_2, s_2) = (l_2 m_2, l_2 n_2)$:
 $\Omega_2 = n_2 / m_2$ - ressonância (m_2, n_2)
 $|l_2|$ - número cadeias isócronas nas seções Poincaré

Ressonância (1,1): $\Omega = 1/1$

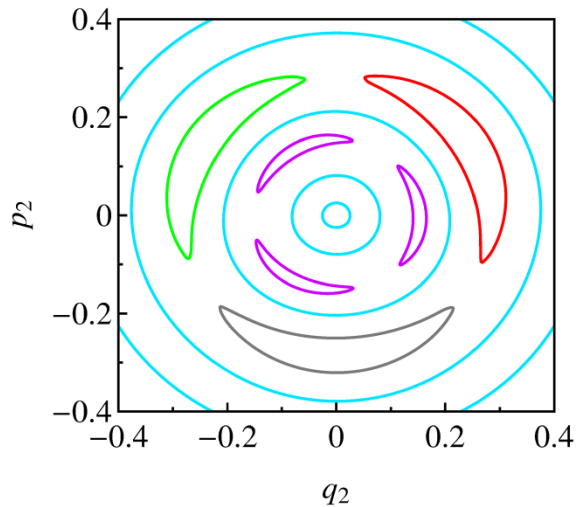
$l_1 = 1$: (1,1) Perturbation



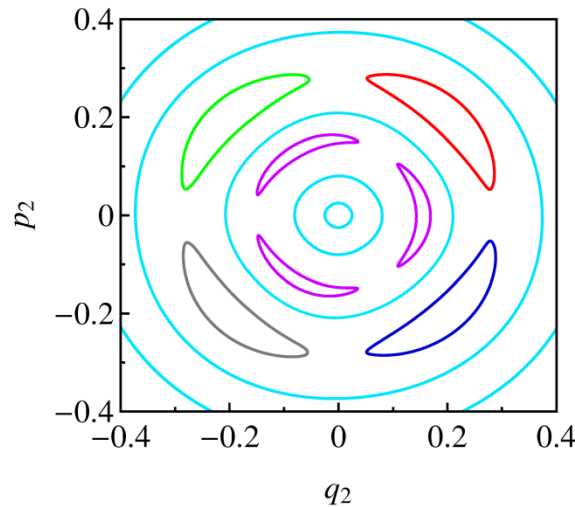
$l_1 = 2$: (2,2) Perturbation



$l_1 = 3$: (3,3) Perturbation



$l_1 = 4$: (4,4) Perturbation



Ilhas externas:

Ressonância
 $(m_1, n_1) = (1, 1)$

Cada cor: cadeia diferente

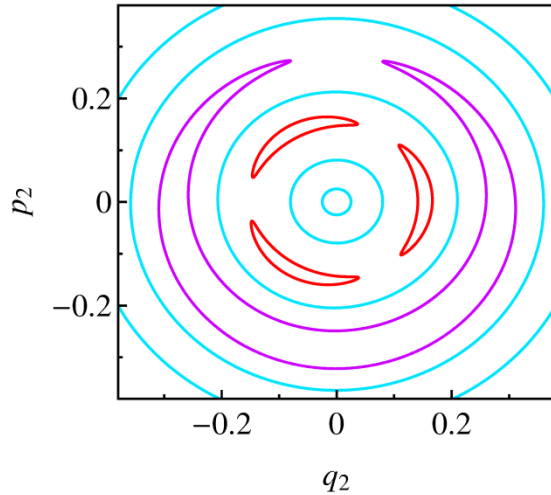
Perturbação

$(r_1, s_1) = (l_1 m_1, l_1 n_1)$:
 $|l_1|$ cadeias isócronas
 $n_1 = 1$ ilha cada cadeia

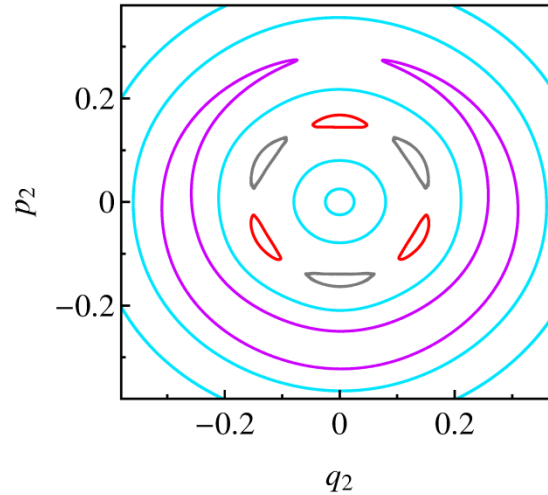
Obs: seções Poincaré
coordenadas polares

Ressonância (2,3): $\Omega = 3/2$

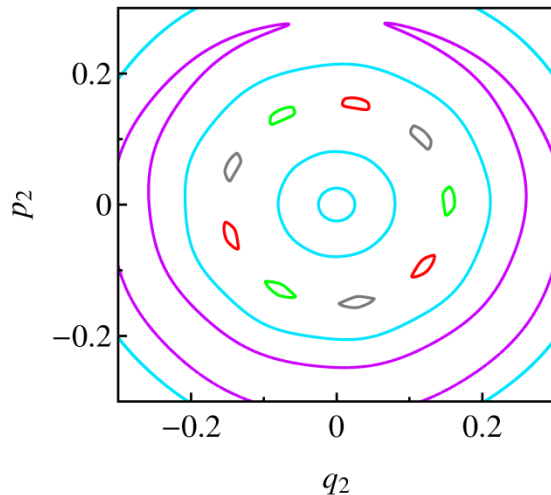
$l_2 = 1$: (2,3) Perturbation



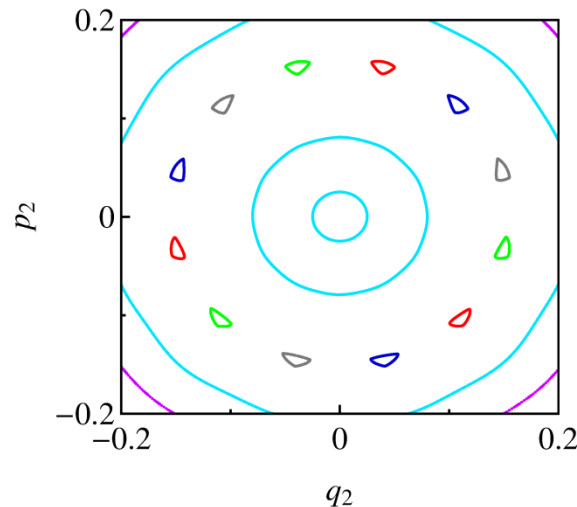
$l_2 = 2$: (4,6) Perturbation



$l_2 = 3$: (6,9) Perturbation



$l_2 = 4$: (8,12) Perturbation



Ilhas internas:

Ressonância
 $(m_2, n_2) = (2, 3)$

Cada cor: cadeia diferente

Perturbação

$(r_2, s_2) = (l_2 m_2, l_2 n_2)$:

$|l_2|$ cadeias isócronas

$n_2 = 3$ ilhas cada cadeia

seção Poincaré $p_2 \times q_2$

M. C. de Sousa *et al.*, *J. Phys.: Conf. Ser.* **641**, 012003 (2015)

INTERAÇÃO ONDA-PARTÍCULA

- Ilhas ressonância:
 - Onda transfere grande quantidade energia para partículas
 - Partículas são aceleradas de forma regular
 - Importante conhecer posição ressonâncias e número cadeias no espaço fases

M. C. de Sousa *et al.*, *Phys. Rev. E* **82**, 026402 (2010)

M. C. de Sousa *et al.*, *Phys. Rev. E* **88**, 064901 (2013)

- Feixe baixa densidade formado por partículas relativísticas com carga q , massa repouso m
- Confinado por campo magnético externo uniforme: $\mathbf{B} = B_0 \hat{z}$, com potencial vetor $\mathbf{A} = B_0 x \hat{y}$
- Interagindo com onda eletrostática e estacionária, dada como série pulsos periódicos se propagam perpendicularmente a \mathbf{B} : vetor de onda $\mathbf{k} = k \hat{x}$, período T , amplitude $\varepsilon / 2$
- Feixe baixa densidade não altera propagação onda, e partículas não interagem entre si

Obs: Onda eletrostática é produzida por campo elétrico dependente tempo com $\nabla \times \mathbf{E}(t) = 0$, $\partial \mathbf{B} / \partial t = 0$ e $\mathbf{E}(t) = -\nabla V(t)$

- Hamiltoniana (energia relativística partícula em campo \mathbf{B} + energia potencial onda):

$$H = \sqrt{m^2 c^4 + c^2 |\mathbf{p} - q\mathbf{A}|^2} + \frac{q\varepsilon}{2} \cos(kx) \sum_{n=-\infty}^{+\infty} \delta(t - nT)$$

- Momento canônico de partícula relativística se movendo em campo magnético:

$$\mathbf{p} = m\gamma\mathbf{v} + q\mathbf{A}$$

com $\gamma = (1 - v^2/c^2)^{-1/2}$, e \mathbf{v} a velocidade da partícula

- Considerando apenas **dinâmica transversal a \mathbf{B}** , isto é, dinâmica no plano xOy :

$$H = \sqrt{m^2 c^4 + c^2 p_x^2 + c^2 (p_y - qB_0 x)^2} + \frac{q\varepsilon}{2} \cos(kx) \sum_{n=-\infty}^{+\infty} \delta(t - nT)$$

- H não é função de y . Logo, $\dot{p}_y = -\partial H/\partial y = 0$ e p_y é constante movimento
- Por simplicidade será considerado, sem perda de generalidade, $p_y = 0$:

$$H(x, p_x, t) = \sqrt{m^2 c^4 + c^2 p_x^2 + (cqB_0 x)^2} + \frac{q\varepsilon}{2} \cos(kx) \sum_{n=-\infty}^{+\infty} \delta(t - nT)$$

- Importante ressaltar essa não é uma restrição física real. Embora p_y seja conservado, $dy/dt \neq 0$ e partícula descreve movimento bidimensional em xOy

M. C. de Sousa *et al.*, *Phys. Rev. E* **82**, 026402 (2010)

M. C. de Sousa *et al.*, *Phys. Rev. E* **86**, 016217 (2012)

- H não é função de y . Logo, $\dot{p}_y = -\partial H/\partial y = 0$ e p_y é constante movimento
- Por simplicidade será considerado, sem perda de generalidade, $p_y = 0$:

$$H(x, p_x, t) = \sqrt{m^2 c^4 + c^2 p_x^2 + (cqB_0 x)^2} + \frac{q\varepsilon}{2} \cos(kx) \sum_{n=-\infty}^{+\infty} \delta(t - nT)$$

- Importante ressaltar essa não é uma restrição física real. Embora p_y seja conservado, $dy/dt \neq 0$ e partícula descreve movimento bidimensional em xOy
- Quantidades adimensionais: $p_x/mc \rightarrow p_x$, $qB_0 x/mc \rightarrow x$, $mck/qB_0 \rightarrow k$, $qB_0 t/m \rightarrow t$, $qB_0 T/m \rightarrow T$, $(q^2 B_0^2/m^2 c^2)\varepsilon \rightarrow \varepsilon$, e $H/mc^2 \rightarrow H$

$$H(x, p_x, t) = \sqrt{1 + p_x^2 + x^2} + \frac{\varepsilon}{2} \cos(kx) \sum_{n=-\infty}^{+\infty} \delta(t - nT)$$

M. C. de Sousa *et al.*, *Phys. Rev. E* **82**, 026402 (2010)

M. C. de Sousa *et al.*, *Phys. Rev. E* **86**, 016217 (2012)

- Hamiltoniana adimensional descreve dinâmica transversal a \mathbf{B} :

$$H(x, p_x, t) = \sqrt{1 + p_x^2 + x^2} + \frac{\varepsilon}{2} \cos(kx) \sum_{n=-\infty}^{+\infty} \delta(t - nT)$$

- Entre dois pulsos onda consecutivos, Hamiltoniana integrável e não depende tempo: variáveis ângulo-ação $x = \sqrt{2I} \sin \theta$, $p_x = \sqrt{2I} \cos \theta$
- Hamiltoniana nas variáveis ângulo-ação (I, θ) :

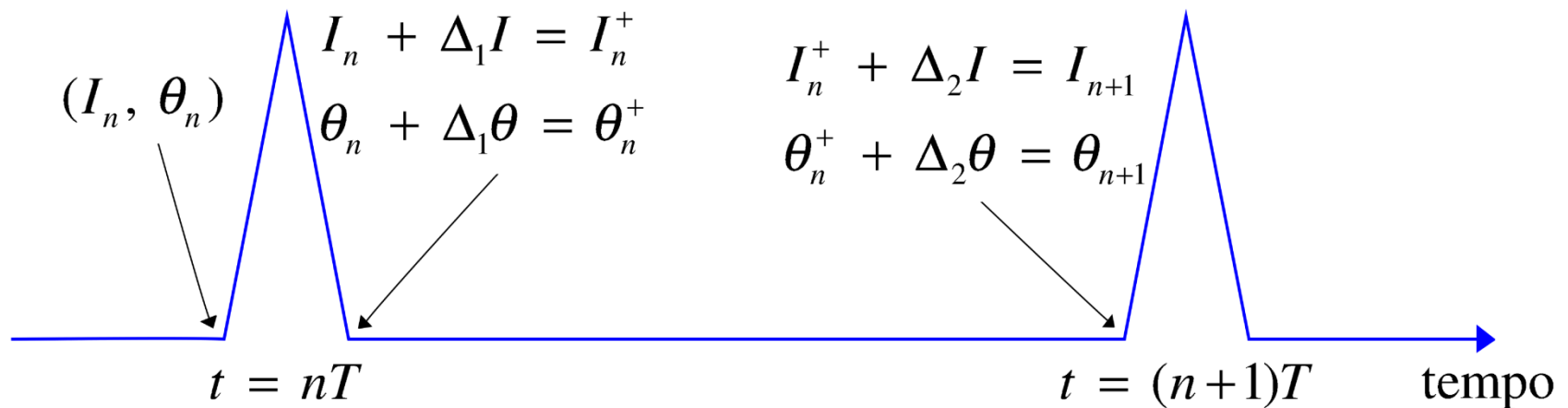
$$H(I, \theta, t) = \sqrt{1 + 2I} + \frac{\varepsilon}{2} \cos(k\sqrt{2I} \sin \theta) \sum_{n=-\infty}^{+\infty} \delta(t - nT)$$

M. C. de Sousa *et al.*, *Phys. Rev. E* **82**, 026402 (2010)

M. C. de Sousa *et al.*, *Phys. Rev. E* **86**, 016217 (2012)

HAMILTONIANA -> MAPA

- A partir Hamiltoniana: obtemos mapa simplético que preserva forma canônica equações Hamilton, e preserva área espaço fases



Representação esquemática variação grandezas I e θ entre instantes $t = nT$ e $t = (n+1)T$

$$I_{w+1} = \frac{1}{2} \left\{ 2I_w \sin^2 \theta_w + \left[\sqrt{2I_w} \cos \theta_w + \frac{1}{2} \varepsilon k \sin(k \sqrt{2I_w} \sin \theta_w) \right]^2 \right\}$$

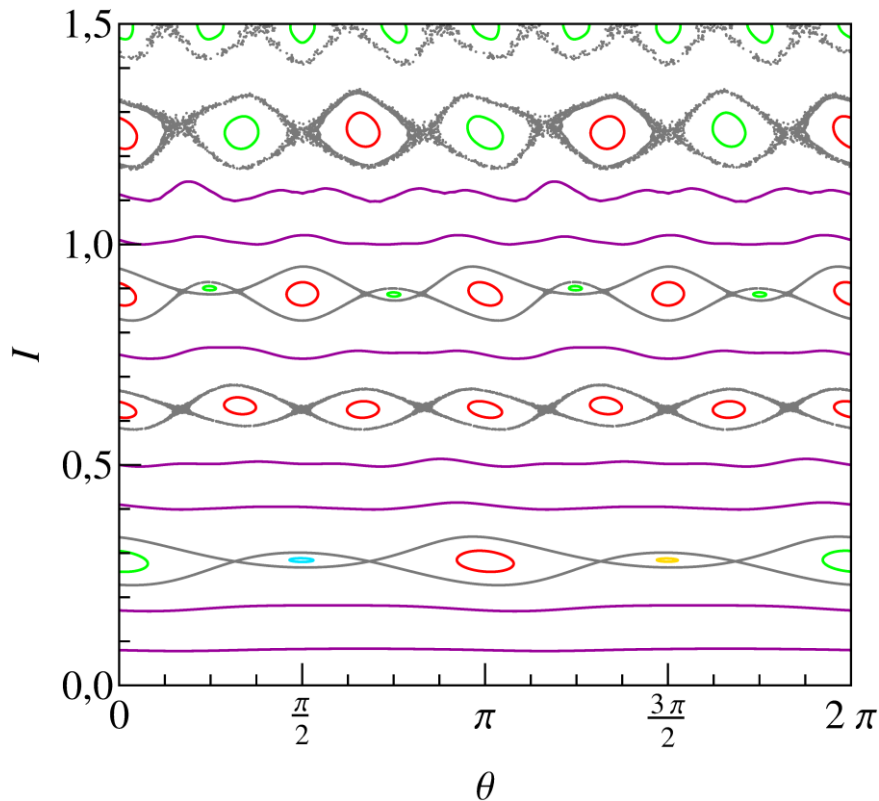
$$\theta_{w+1} = \operatorname{arctg} \left[\frac{2\sqrt{2I_w} \sin \theta_w}{2\sqrt{2I_w} \cos \theta_w + \varepsilon k \sin(k \sqrt{2I_w} \sin \theta_w)} \right] + \frac{T}{\sqrt{1 + 2I_{w+1}}}$$

- Mapa exato e explícito
- Esse mapa pode ser considerado versão relativística e magnetizada mapa padrão clássico (mapa de Chirikov-Taylor)

M. C. de Sousa *et al.*, *Phys. Rev. E* **82**, 026402 (2010)

M. C. de Sousa *et al.*, *Phys. Rev. E* **86**, 016217 (2012)

RESSONÂNCIAS PRIMÁRIAS



Ressonância (3,2): 2 cadeias

Ressonância (4,3): 2 cadeias

Ressonância (6,5): 1 cadeia

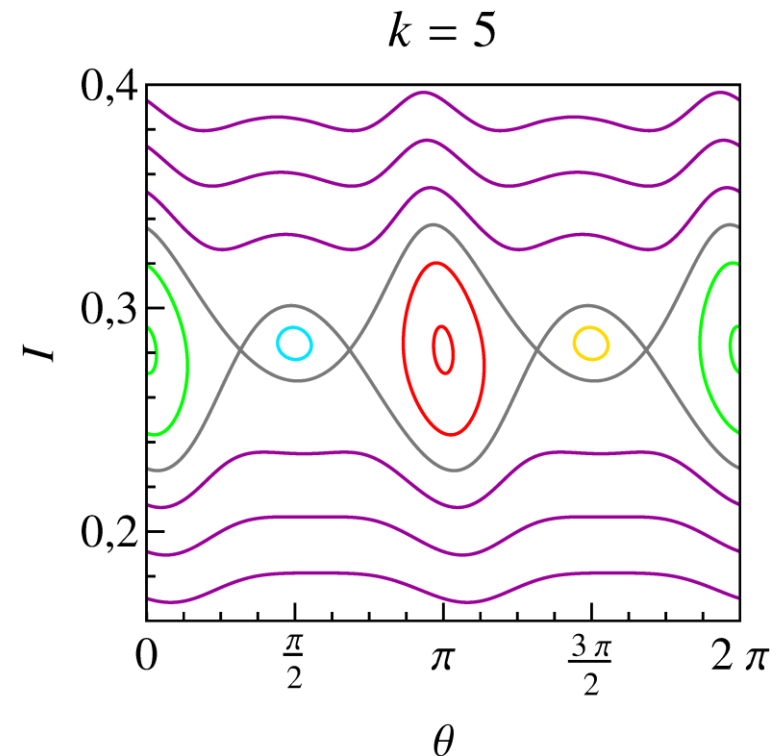
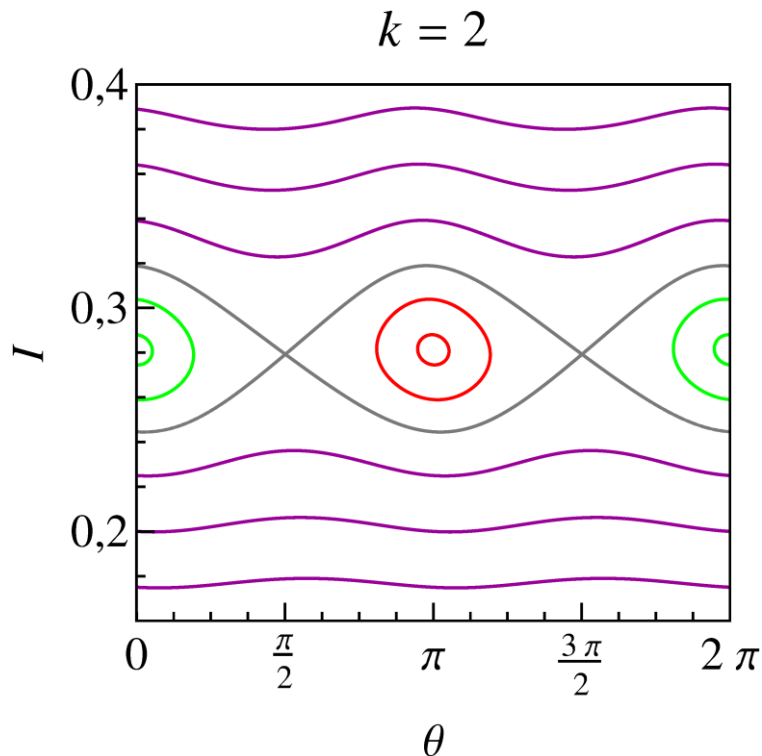
Ressonância (1,1): 4 cadeias

Ilhas ressonância: verde, vermelho, ciano, amarelo

Cada ressonância: cores indicam cadeias ilhas independentes (isócronas)

RESSONÂNCIA (1,1)

- Teorema Ponto Fixo Poincaré-Birkhoff não determina número cadeias isócronas para cada ressonância primária



- Cores verde, vermelho, ciano, amarelo: cadeias ilhas isócronas independentes

MÚTIPLAS PERTURBAÇÕES

- Hamiltoniana sistema: $H = \sqrt{1 + 2I} + \frac{\varepsilon}{2} \cos(k\sqrt{2I} \sin \theta) \sum_{n=-\infty}^{+\infty} \delta(t - nT)$

MÚTIPLAS PERTURBAÇÕES

- Hamiltoniana sistema: $H = \sqrt{1 + 2I} + \frac{\varepsilon}{2} \cos(k\sqrt{2I} \sin \theta) \sum_{n=-\infty}^{+\infty} \delta(t - nT)$
- Função delta: $\sum_{n=-\infty}^{+\infty} \delta(t - nT) = \frac{1}{T} \sum_{l_1=-\infty}^{+\infty} \cos\left(\frac{2\pi l_1 t}{T}\right)$

MÚTIPLAS PERTURBAÇÕES

- Hamiltoniana sistema: $H = \sqrt{1 + 2I} + \frac{\varepsilon}{2} \cos(k\sqrt{2I} \sin \theta) \sum_{n=-\infty}^{+\infty} \delta(t - nT)$
- Função delta: $\sum_{n=-\infty}^{+\infty} \delta(t - nT) = \frac{1}{T} \sum_{l_1=-\infty}^{+\infty} \cos\left(\frac{2\pi l_1 t}{T}\right)$
- Hamiltoniana: $H = \sqrt{1 + 2I} + \frac{\varepsilon}{2T} \sum_{l_1=-\infty}^{+\infty} \cos\left(k\sqrt{2I} \sin \theta - \frac{2\pi l_1 t}{T}\right)$

MÚTIPLAS PERTURBAÇÕES

- Hamiltoniana sistema: $H = \sqrt{1 + 2I} + \frac{\varepsilon}{2} \cos(k\sqrt{2I} \sin \theta) \sum_{n=-\infty}^{+\infty} \delta(t - nT)$
- Função delta: $\sum_{n=-\infty}^{+\infty} \delta(t - nT) = \frac{1}{T} \sum_{l_1=-\infty}^{+\infty} \cos\left(\frac{2\pi l_1 t}{T}\right)$
- Hamiltoniana: $H = \sqrt{1 + 2I} + \frac{\varepsilon}{2T} \sum_{l_1=-\infty}^{+\infty} \cos\left(k\sqrt{2I} \sin \theta - \frac{2\pi l_1 t}{T}\right)$
- Série Fourier-Bessel: $\cos\left(k\sqrt{2I} \sin \theta - \frac{2\pi l_1 t}{T}\right) = \sum_{l_2=-\infty}^{+\infty} J_{l_2}(k\sqrt{2I}) \cos\left(l_2 \theta \pm \frac{2\pi l_1 t}{T}\right)$

MÚTIPLAS PERTURBAÇÕES

- Hamiltoniana sistema:
$$H = \sqrt{1 + 2I} + \frac{\varepsilon}{2} \cos(k\sqrt{2I} \sin \theta) \sum_{n=-\infty}^{+\infty} \delta(t - nT)$$
- Função delta:
$$\sum_{n=-\infty}^{+\infty} \delta(t - nT) = \frac{1}{T} \sum_{l_1=-\infty}^{+\infty} \cos\left(\frac{2\pi l_1 t}{T}\right)$$
- Hamiltoniana:
$$H = \sqrt{1 + 2I} + \frac{\varepsilon}{2T} \sum_{l_1=-\infty}^{+\infty} \cos\left(k\sqrt{2I} \sin \theta - \frac{2\pi l_1 t}{T}\right)$$
- Série Fourier-Bessel:
$$\cos\left(k\sqrt{2I} \sin \theta - \frac{2\pi l_1 t}{T}\right) = \sum_{l_2=-\infty}^{+\infty} J_{l_2}(k\sqrt{2I}) \cos\left(l_2 \theta \pm \frac{2\pi l_1 t}{T}\right)$$
- Hamiltoniana expandida:
$$H = \sqrt{1 + 2I} + \frac{\varepsilon}{2T} \sum_{r=-\infty}^{+\infty} \sum_{s=-\infty}^{+\infty} J_r(k\sqrt{2I}) \cos\left(r\theta - \frac{2\pi s t}{T}\right)$$

- Hamiltoniana expandida série Fourier-Bessel:

$$H = \sqrt{1 + 2I} + \frac{\varepsilon}{2T} \sum_{r=-\infty}^{+\infty} \sum_{s=-\infty}^{+\infty} J_r(k\sqrt{2I}) \cos\left(r\theta - \frac{2\pi st}{T}\right)$$

- Infinitas perturbações (r, s) com mesmo número rotação:

(m, n) : ressonância gerada pelas perturbações $(r, s) = (lm, ln)$

$\Omega = n/m$: número rotação que caracteriza ressonância (m, n)

$|l|$: número cadeias isócronas geradas perturbação individual $(r, s) = (lm, ln)$

$m = r/l$: número ilhas em cada cadeia

$n = s/l$: proporcional à velocidade angular partícula

M. C. de Sousa *et al.*, *Phys. Rev. E* **88**, 064901 (2013)

M. C. de Sousa *et al.*, *J. Phys.: Conf. Ser.* **641**, 012003 (2015)

POSIÇÃO RESSONÂNCIA - VARIÁVEL AÇÃO

- Hamiltoniana expandida: $H = \sqrt{1+2I} + \frac{\varepsilon}{2T} \sum_{r=-\infty}^{+\infty} \sum_{s=-\infty}^{+\infty} J_r(k\sqrt{2I}) \cos\left(r\theta - \frac{2\pi st}{T}\right)$
- Frequência partícula em campo **B**: $\omega_0 = d\theta / dt|_{H=H_0} = \partial H_0 / \partial I = (1+2I)^{-1/2}$
- Frequência onda: $\omega = 2\pi / T$
- Sistema é twist: $\Omega = \frac{\omega_0}{\omega} = \frac{T}{2\pi\sqrt{1+2I}}$ (função monotônica I)
- Condição ressonância primária:

$$\frac{d}{dt}\left(r\theta - \frac{2\pi st}{T}\right) = 0 \Rightarrow r\dot{\theta} = \frac{2\pi s}{T} \Rightarrow r\omega_0 \cong \frac{2\pi s}{T} \Rightarrow lm\omega_0 \cong \frac{2ln\pi}{T}$$

$$I_{m,n} \cong \frac{1}{8} \left(\frac{mT}{n\pi}\right)^2 - \frac{1}{2} = \frac{1}{8} \left(\frac{T}{\pi\Omega_{m,n}}\right)^2 - \frac{1}{2}$$

POSIÇÃO RESSONÂNCIA - VARIÁVEL ANGULAR

- Para $\varepsilon \rightarrow 0$, mapa sistema é linearizado em ε :

$$I_{w+1} = I_w + \frac{\varepsilon k}{2} \sqrt{2I_w} \cos \theta_w \operatorname{sen}(k \sqrt{2I_w} \operatorname{sen} \theta_w)$$

- Seguindo aproximação primeira ordem em ε nas sucessivas iterações mapa, e utilizando condição periodicidade ressonância (m, n) :

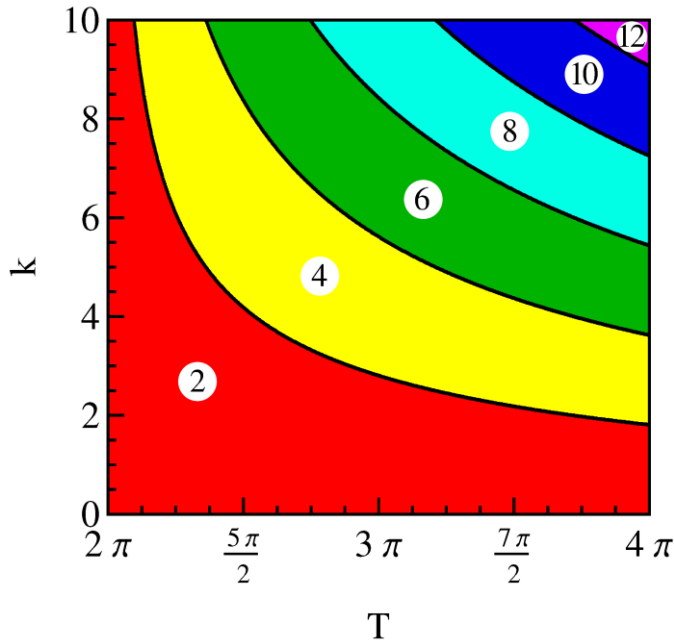
$$G_{m,n}(\theta) \equiv \sum_{j=0}^{m-1} \cos\left(\theta + \frac{2\pi n}{m} j\right) \operatorname{sen}\left[k \sqrt{2I_{m,n}} \operatorname{sen}\left(\theta + \frac{2\pi n}{m} j\right)\right] = 0$$

M. C. de Sousa *et al.*, *Phys. Rev. E* **88**, 064901 (2013)

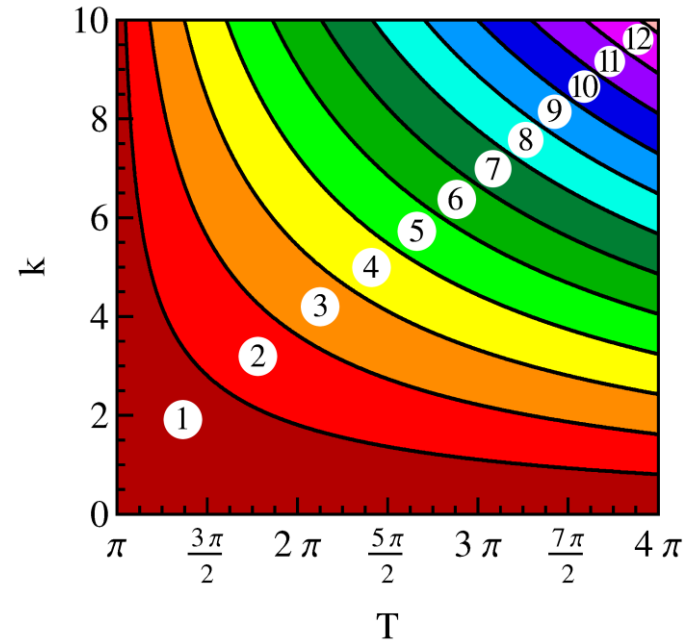
M. C. de Sousa *et al.*, *J. Phys.: Conf. Ser.* **641**, 012003 (2015)

NÚMERO CADEIAS ISÓCRONAS

Ressonância (1,1)



Ressonância (2,1)



Todas curvas pretas obedecem mesmo tipo lei potência:

$$F(T) \equiv \left[\frac{1}{4} \left(\frac{mT}{n\pi} \right)^2 - 1 \right]^{-1/2} = \frac{1}{\sqrt{2I_{m,n}}}$$

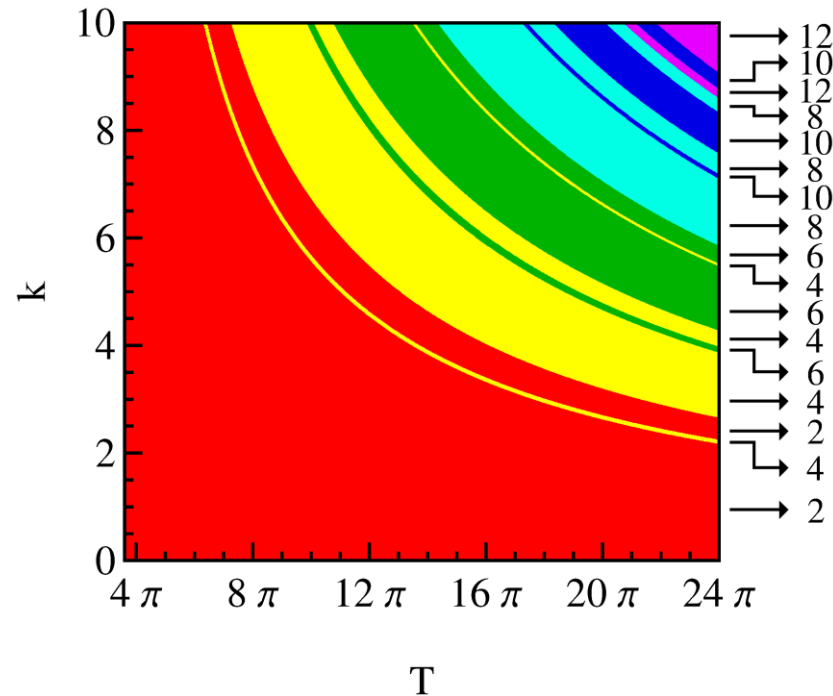
$$H = \sqrt{1 + 2I} + \frac{\varepsilon}{2T} \sum_{r=-\infty}^{+\infty} \sum_{s=-\infty}^{+\infty} J_r(k\sqrt{2I}) \cos\left(r\theta - \frac{2\pi st}{T}\right)$$

- Número infinito termos ressonantes $(r, s) = (lm, ln)$ com mesmo número rotação $\Omega = n/m$
- Exemplo: perturbações $(2,1)$, $(-2,-1)$, $(4,2)$, $(-4,-2)$, etc. são todas caracterizadas por $\Omega = 1/2$
- Cada perturbação $(r, s) = (lm, ln)$ pode gerar ilhas isócronas na mesma posição espaço fases
- Superposição altera número cadeias de acordo com parâmetros sistema

M. C. de Sousa *et al.*, *Phys. Rev. E* **88**, 064901 (2013)

M. C. de Sousa *et al.*, *J. Phys.: Conf. Ser.* **641**, 012003 (2015)

(5,9) Resonance



$m > 4$: superposição termos ressonantes mais complexa
número cadeias não aumenta monotonicamente com T e k

M. C. de Sousa *et al.*, *Phys. Rev. E* **88**, 064901 (2013)

M. C. de Sousa *et al.*, *J. Phys.: Conf. Ser.* **641**, 012003 (2015)

MÚTIPLAS CADEIAS ISÓCRONAS

- Teorema Ponto Fixo Poincaré-Birkhoff: utiliza número rotação para descrever ressonâncias
- Número infinito perturbações (lm, ln) possuem mesmo $\Omega = n/m$
- Número rotação não é suficiente para caracterizar completamente ressonância
- Número cadeias isócronas é determinado pelas perturbações (lm, ln) que atuam sistema e sua superposição
- Uma perturbação (lm, ln) : número cadeias isócronas constante e igual $|l|$
- Múltiplas perturbações (lm, ln) : número cadeias pode variar com parâmetros sistema

M. C. de Sousa *et al.*, *Phys. Rev. E* **88**, 064901 (2013)

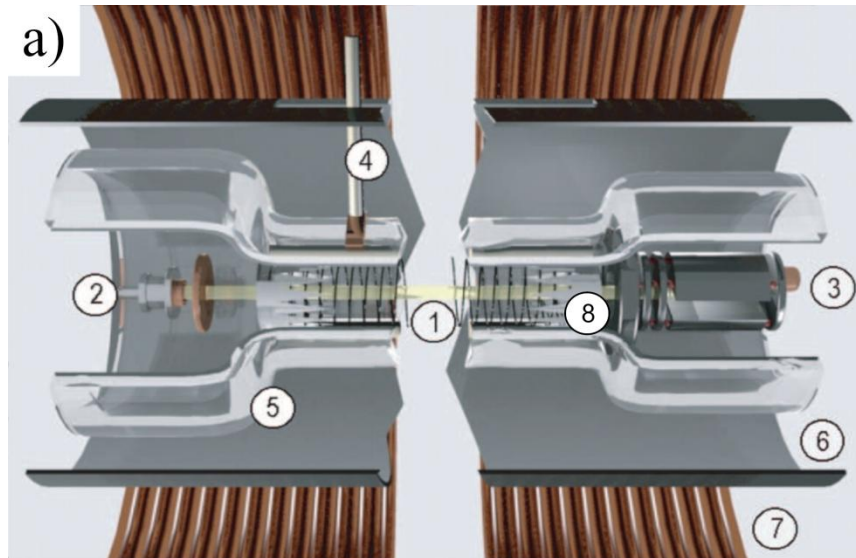
M. C. de Sousa *et al.*, *J. Phys.: Conf. Ser.* **641**, 012003 (2015)

EXPERIMENTOS EM UM TWT

- Válvula ondas progressivas (TWT, traveling wave tube) com 4 metros comprimento, especialmente concebida para investigar interações onda-partícula em plasmas (Laboratório PIIM, Aix-Marseille Université)



M. C. de Sousa *et al.*, *Phys. Plasmas* **27**, 093108 (2020)



(a) Estrutura TWT [Doveil *et al.*, *Chaos* **16**, 033103 (2006)]: (1) hélice; (2) canhão elétrons; (3) detector trocoidal velocidade; (4) antena móvel; (5) tubo vidro a vácuo; (6) cilindro radiofrequência aterrado, com ranhuras para movimento axial antenas; (7) bobina magnética principal; (8) terminações resistivas para reduzir reflexões.

(b) Foto TWT [M. C. de Sousa *et al.*, *Phys. Plasmas* **27**, 093108 (2020)]: (7) bobina principal - campo magnético axial para confinar feixe; (9) bobinas retangulares - campos magnéticos perpendiculares direção axial para manter feixe alinhado com eixo TWT.

- Experimentos sobre interação feixe-plasma
- Plasma possui muito ruído de fundo
- TWT simula sistemas feixe-plasma com nível muito baixo ruído
- TWT: ondas eletromagnéticas interagem com feixe elétrons no vácuo
- Analisamos propagação ondas, feixe elétrons, sua interação, e comparamos com previsões teóricas (concordância ótima)
- Investigamos efeitos não-lineares devido trocas energia e momento entre ondas e elétrons: modulação energia feixe, crescimento onda, formação pacotes elétrons que são aprisionados potencial onda

Estudos importantes para:

- Física plasmas,
- Dispositivos que usam interação onda-partícula;
- Melhoria TWTs industriais (2 a 30 cm comprimento), usados como amplificador sinal comunicações sem fio, principalmente telecomunicação espacial [ex: satélites, sondas como *Rosetta* (primeira a pousar em cometa), *New Horizons* (explorar Plutão), etc.]

Editor's pick: M. C. de Sousa *et al.*, “Wave-particle interactions in a long traveling wave tube with upgraded helix”, *Phys. Plasmas* **27**, 093108 (2020)